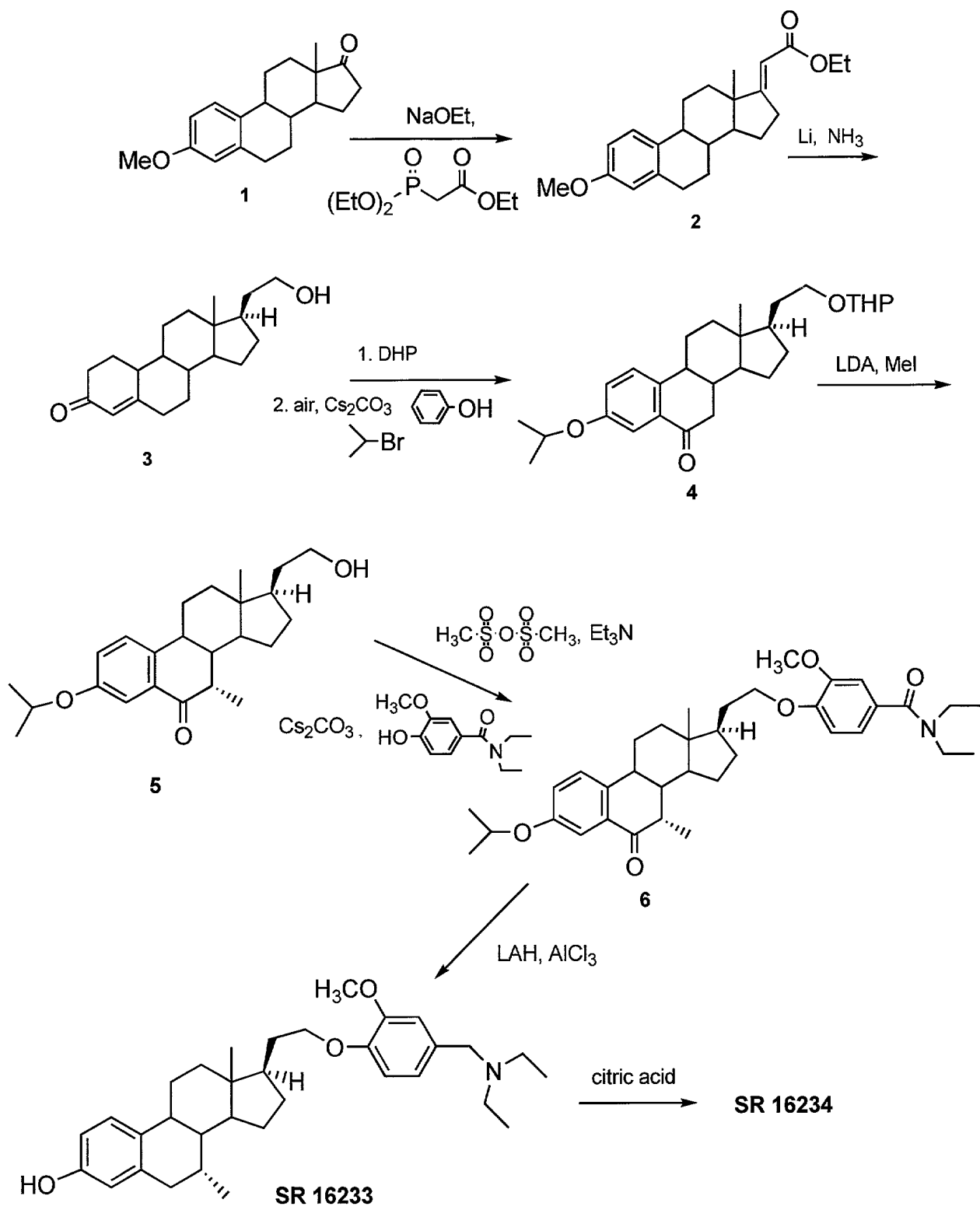
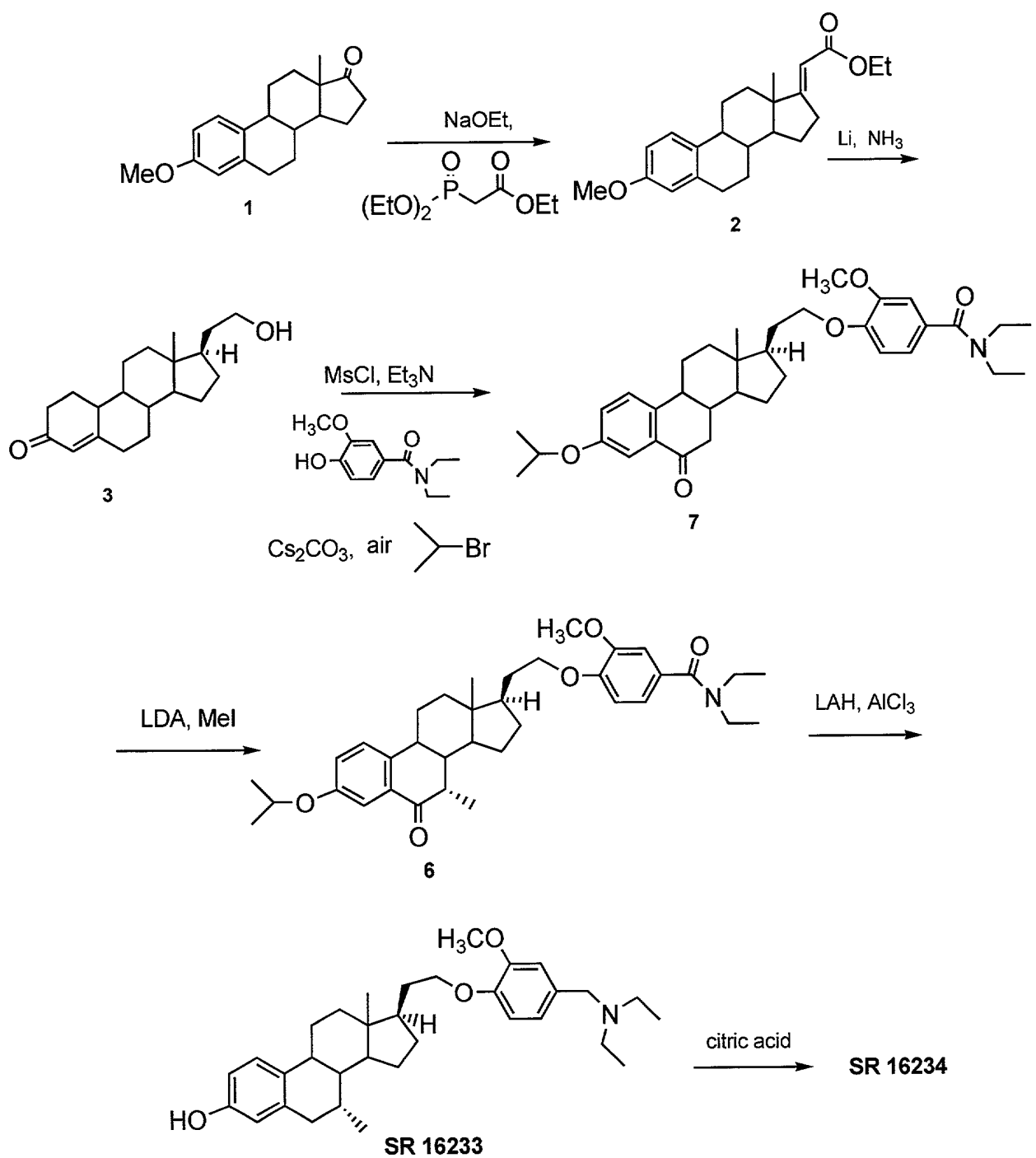


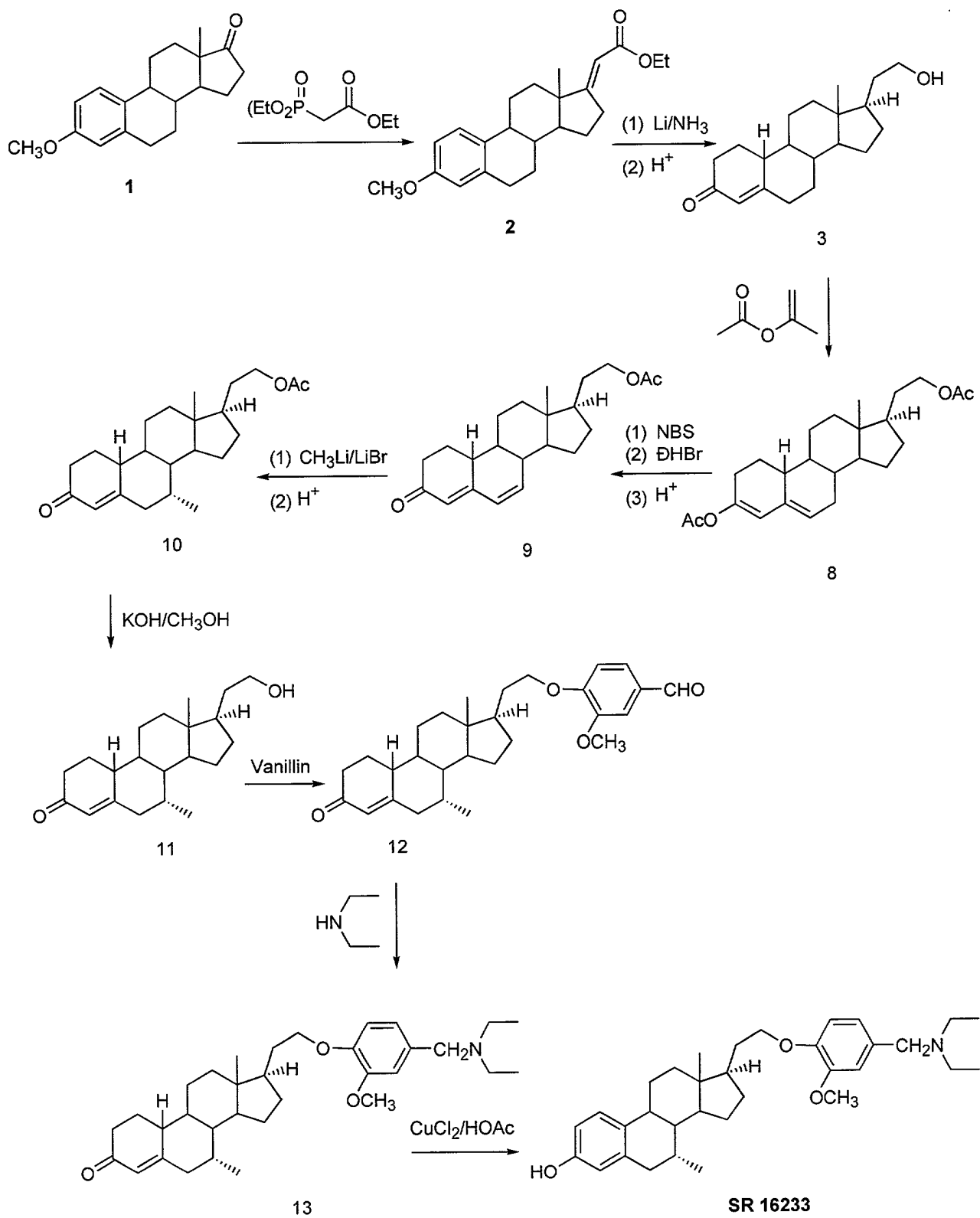
**FIG. 1**



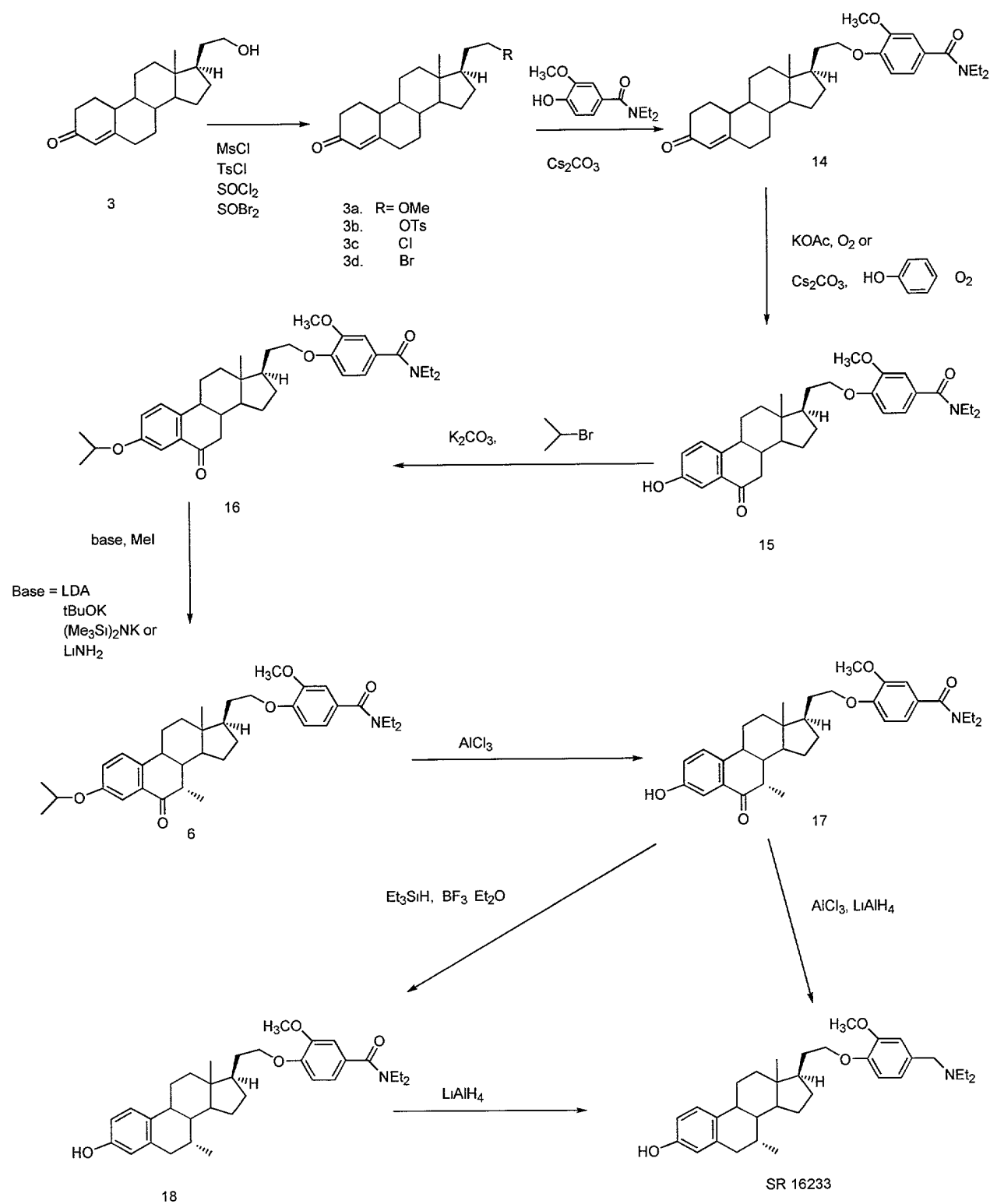
**FIG. 2**



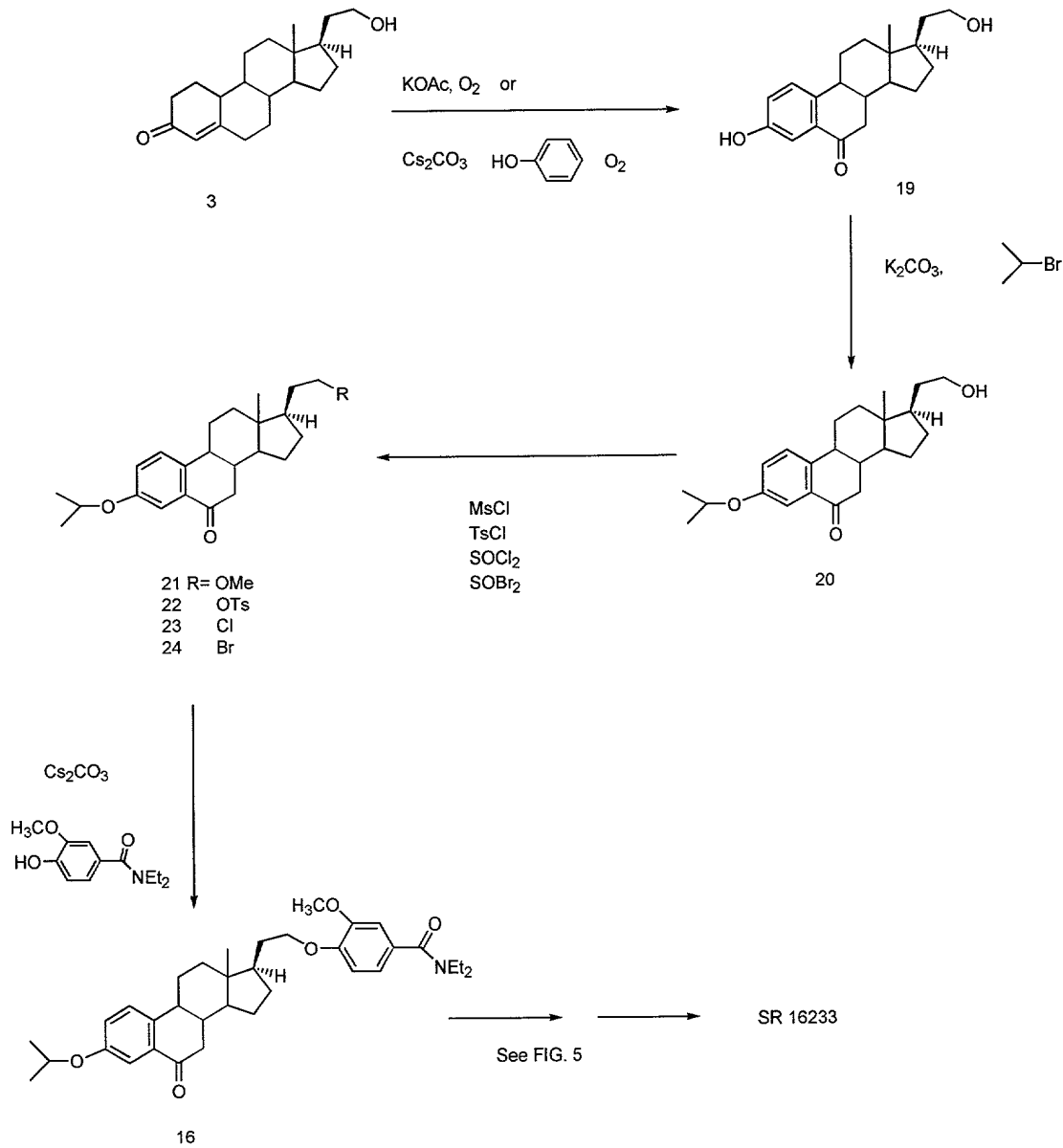
**FIG. 3**



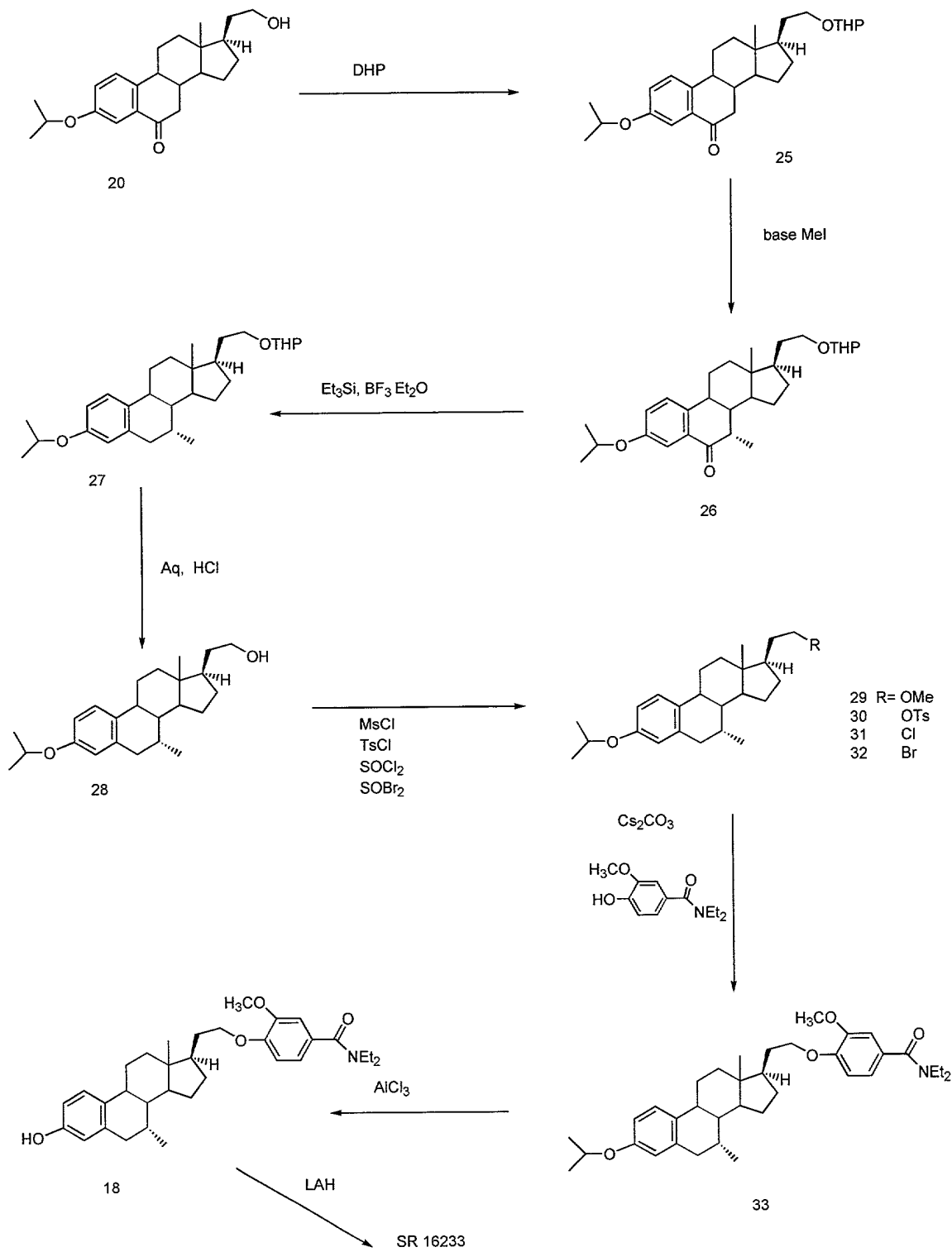
**FIG. 4**



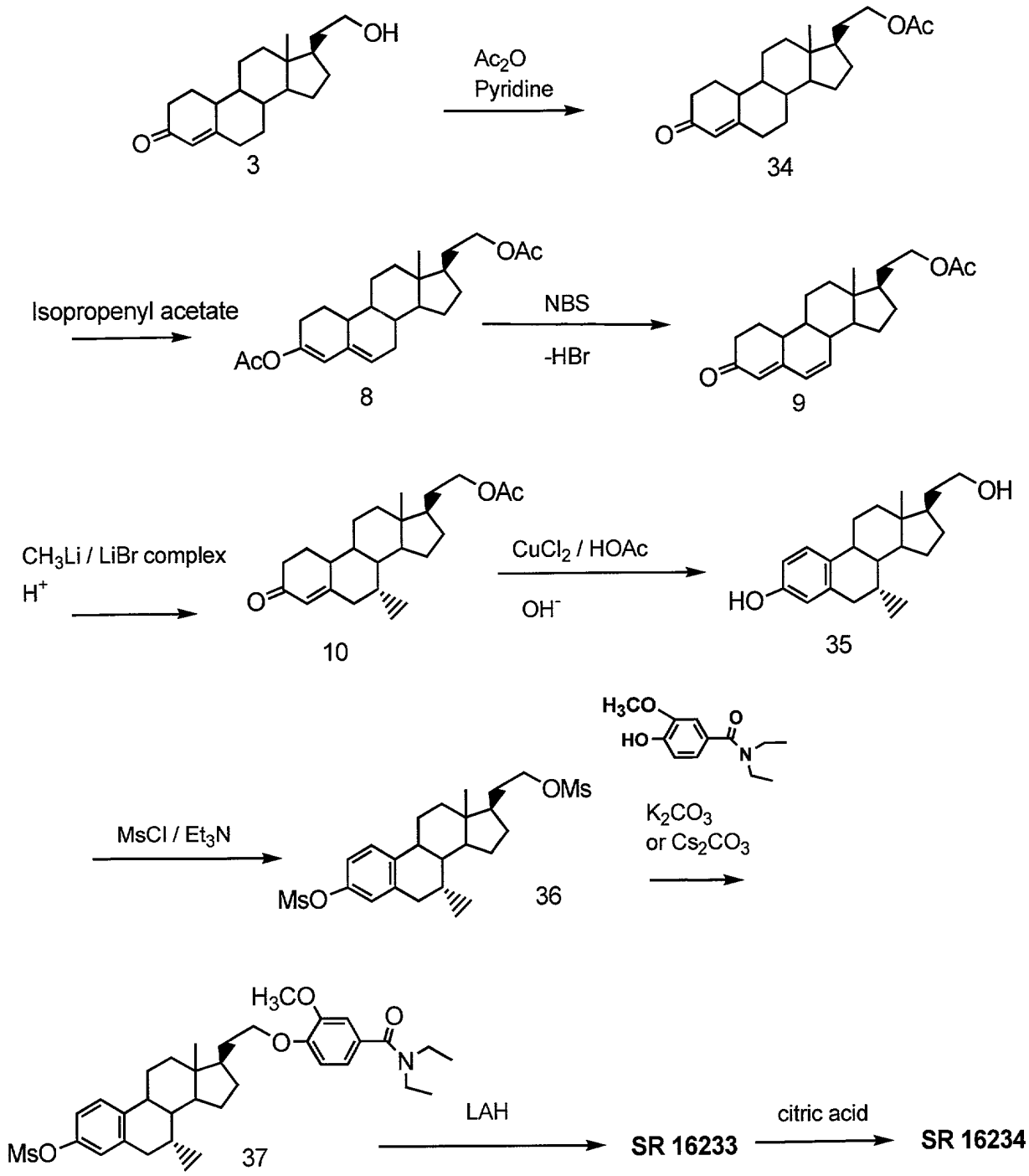
**FIG. 5**



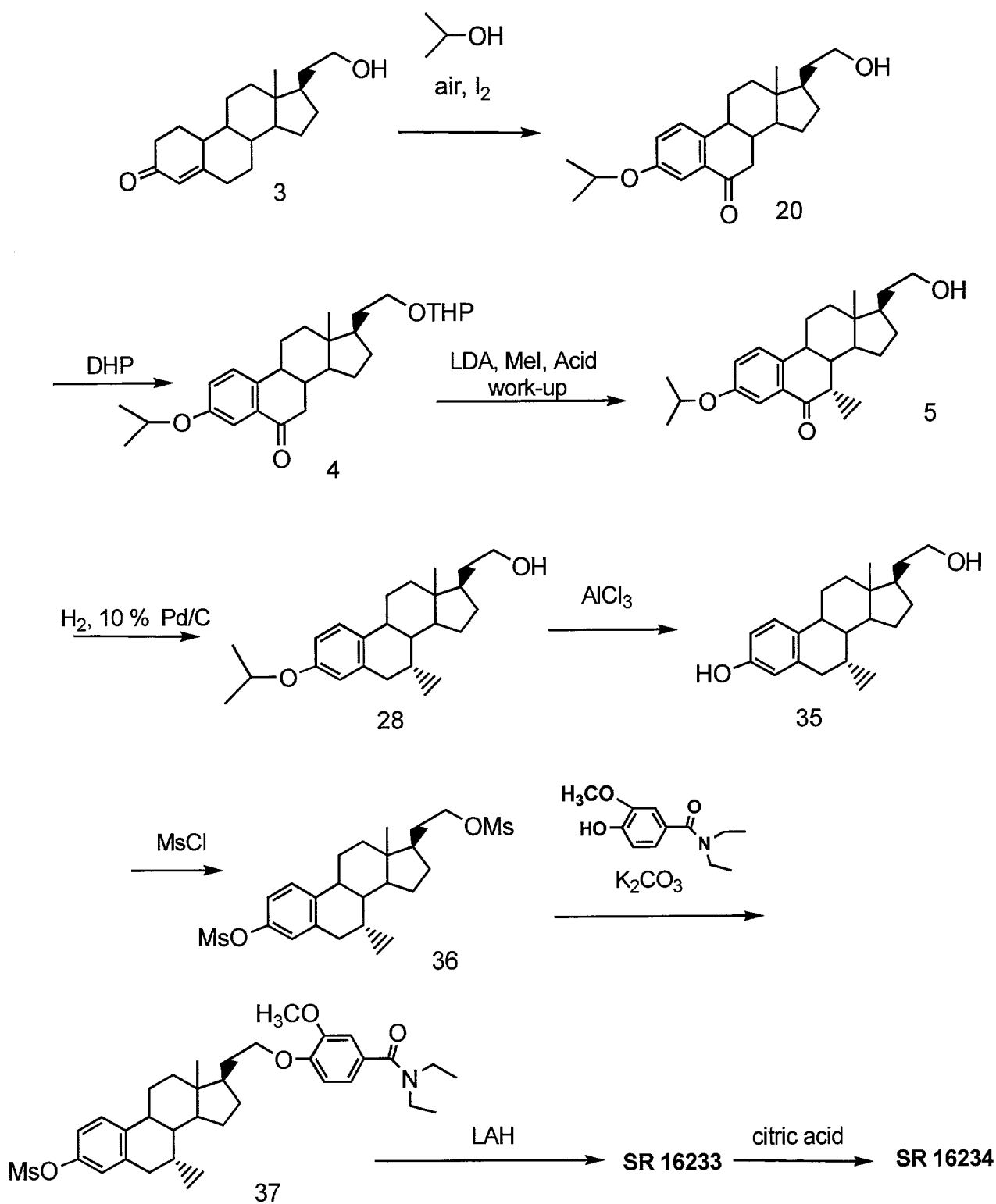
**FIG. 6**



**FIG. 7**



**FIG. 8**



**FIG. 9**

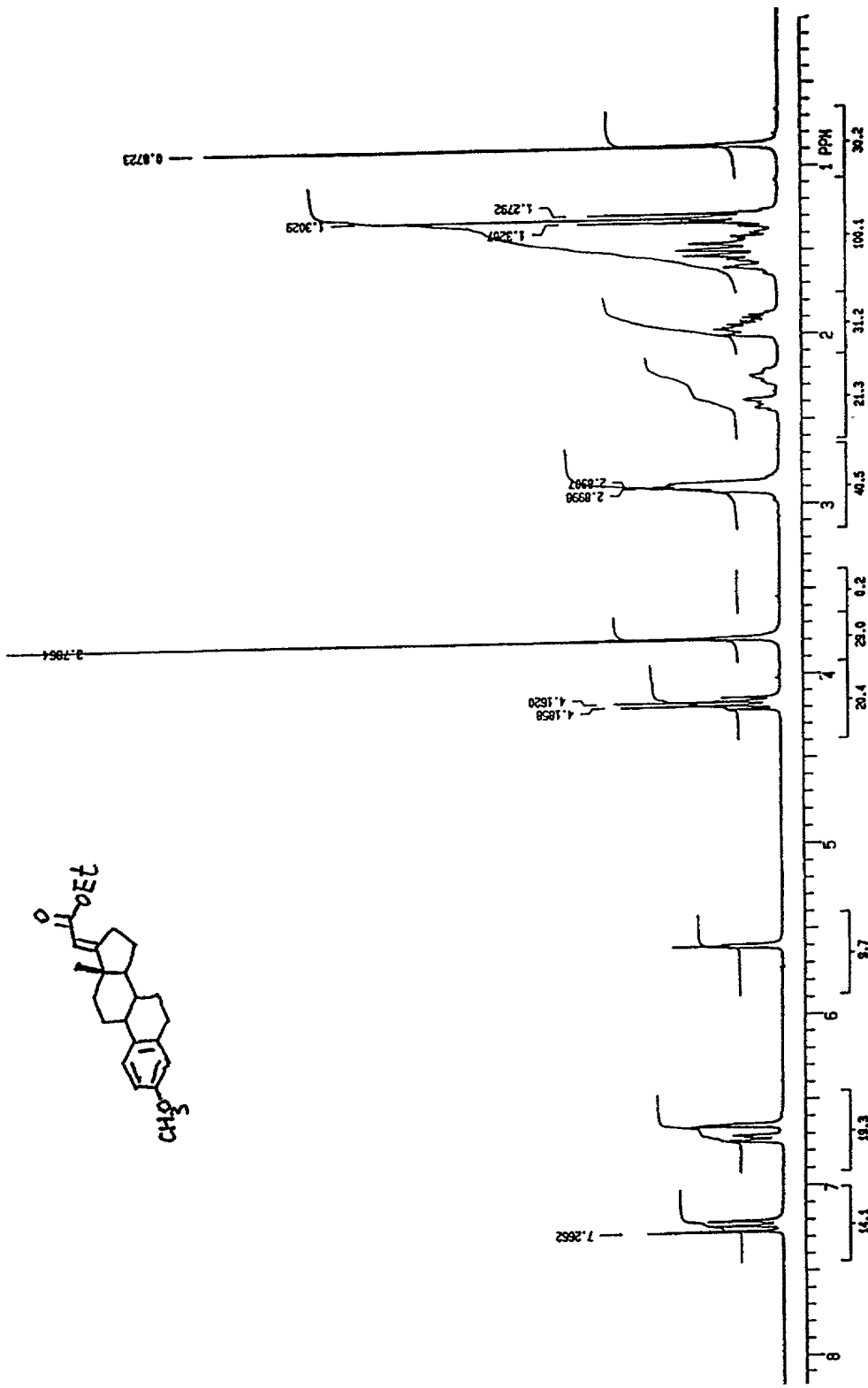
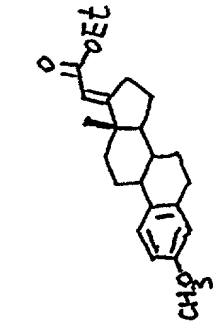


FIG. 10

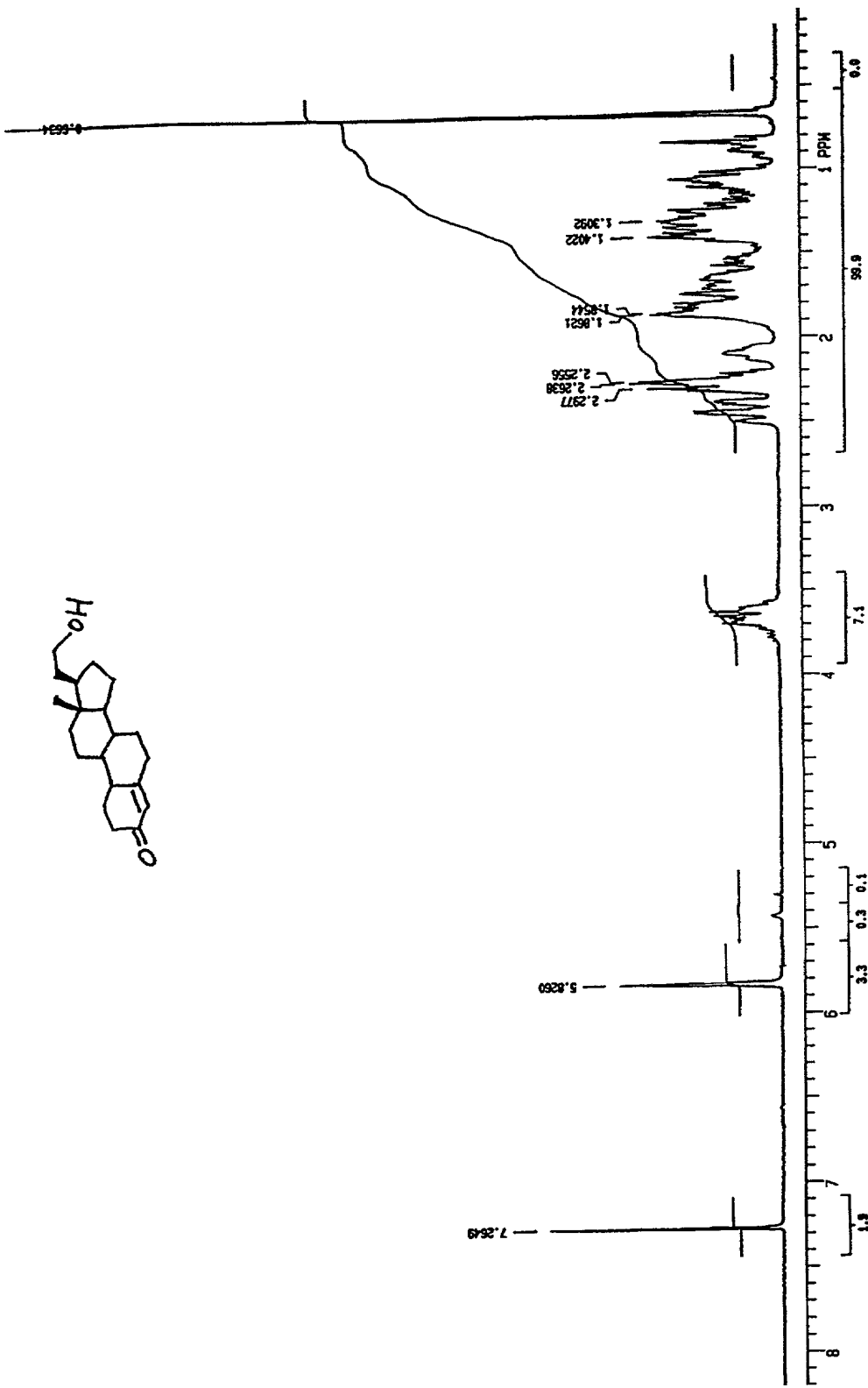


FIG. 11

**FIG. 12**

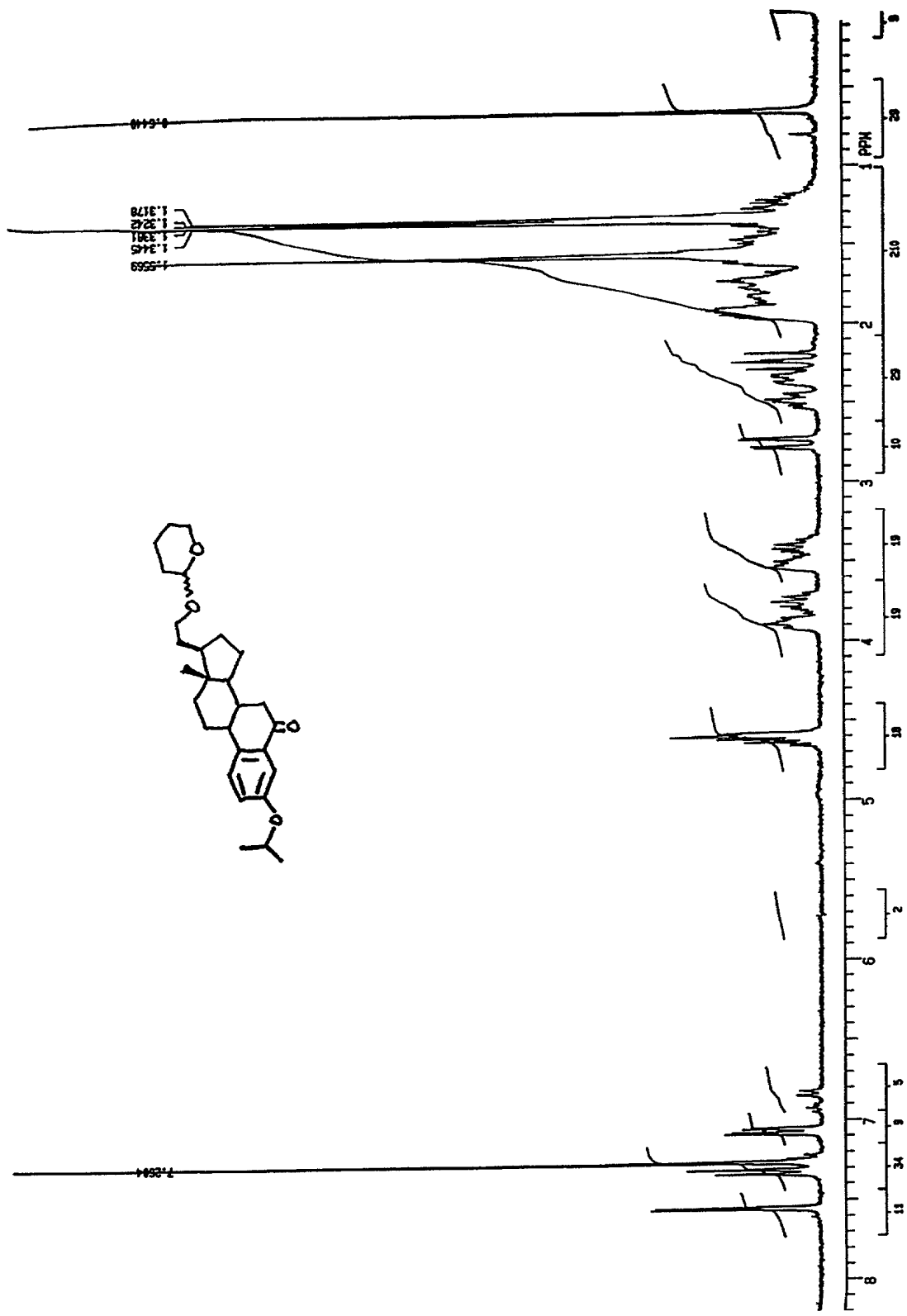
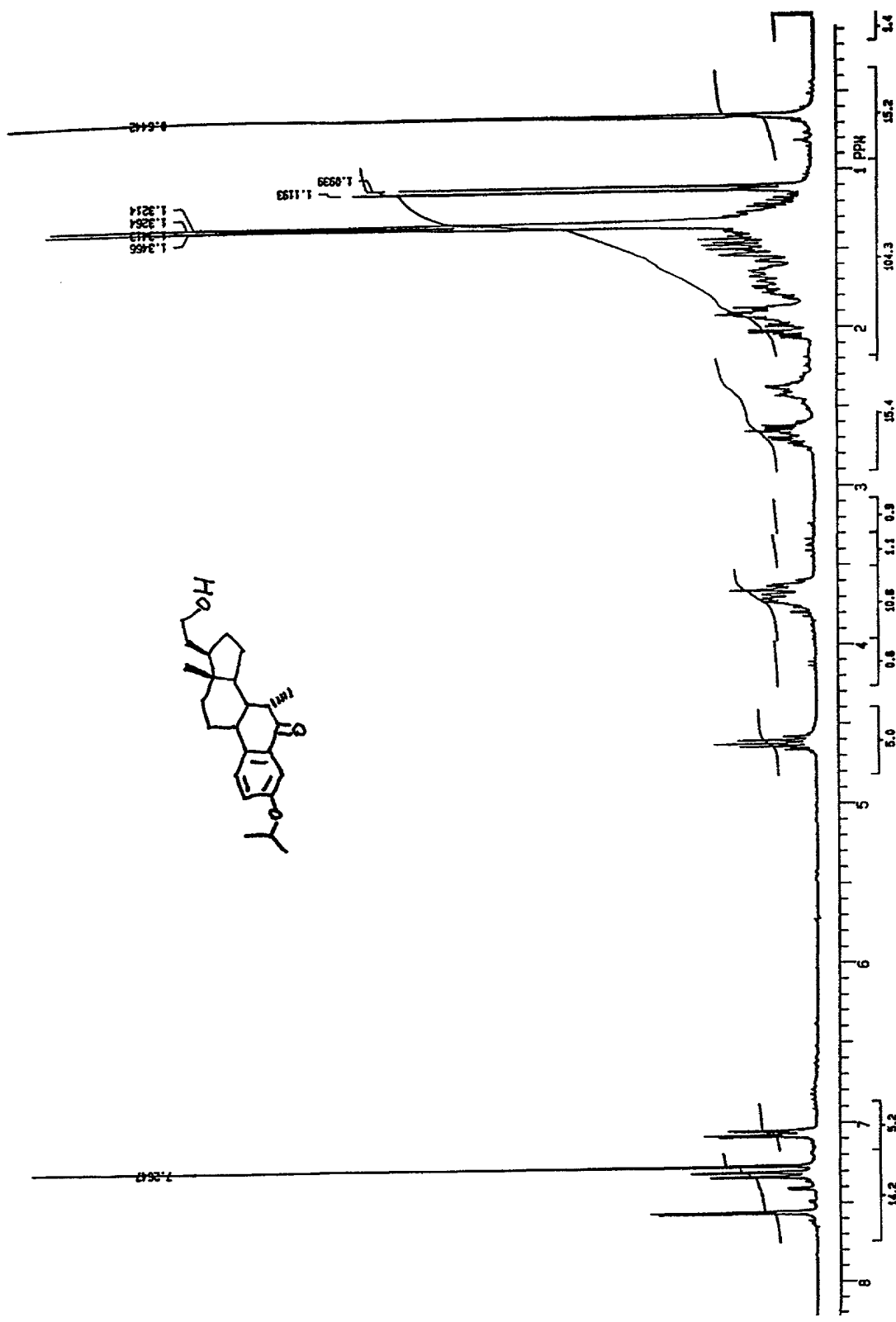
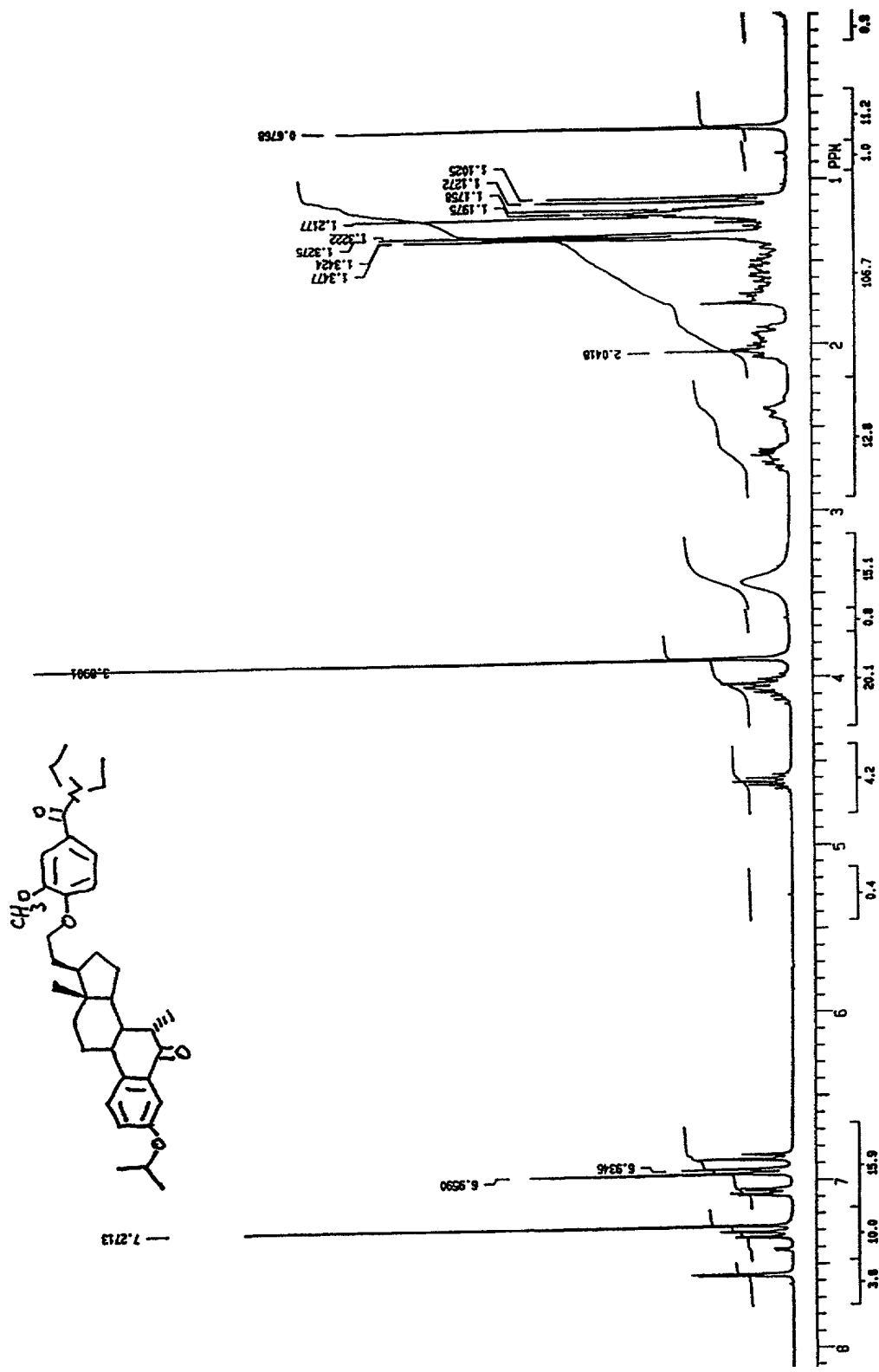


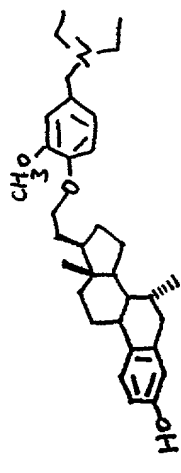
FIG. 13





**FIG. 14**

SR 16233



SR 16233

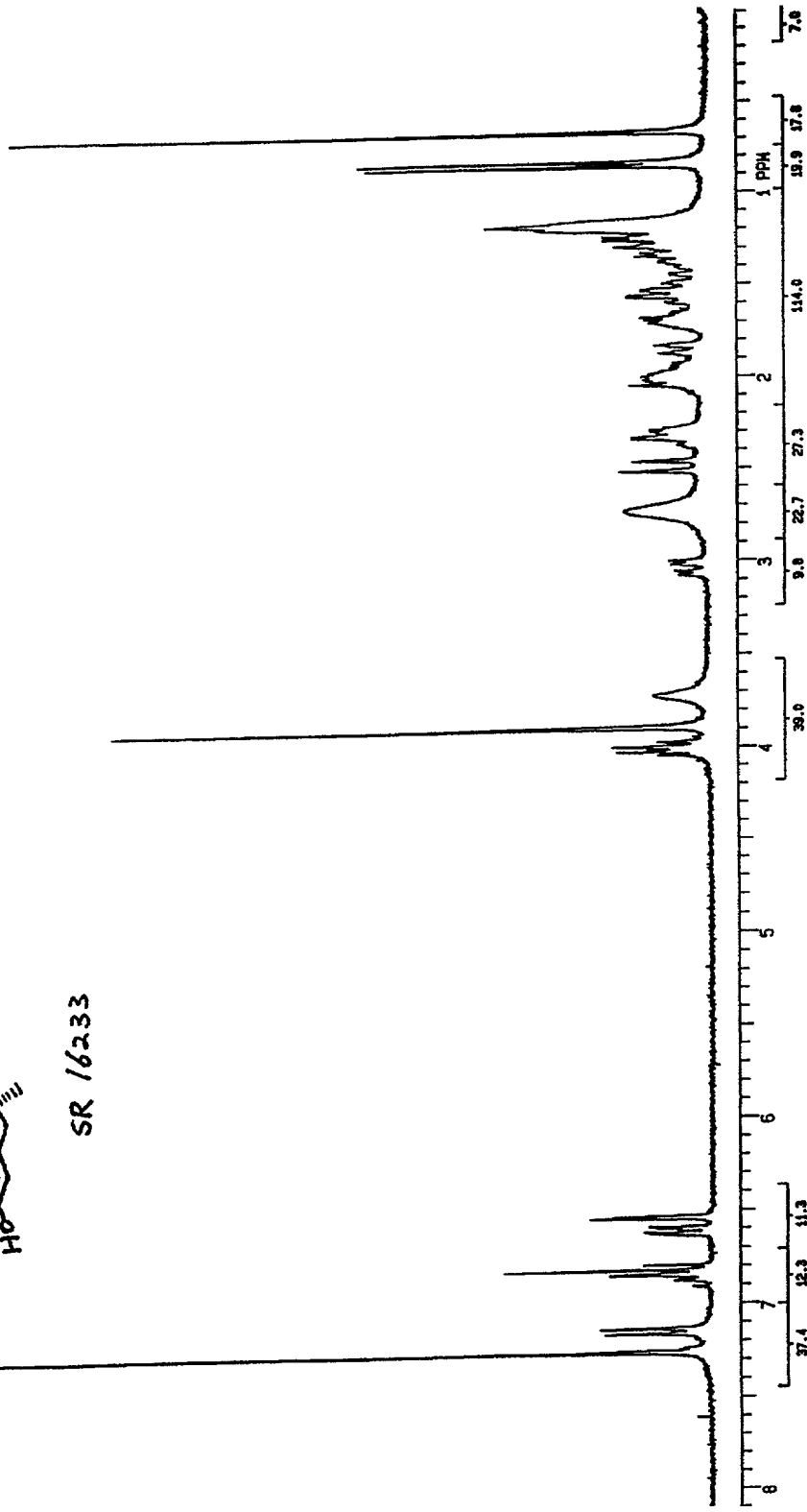
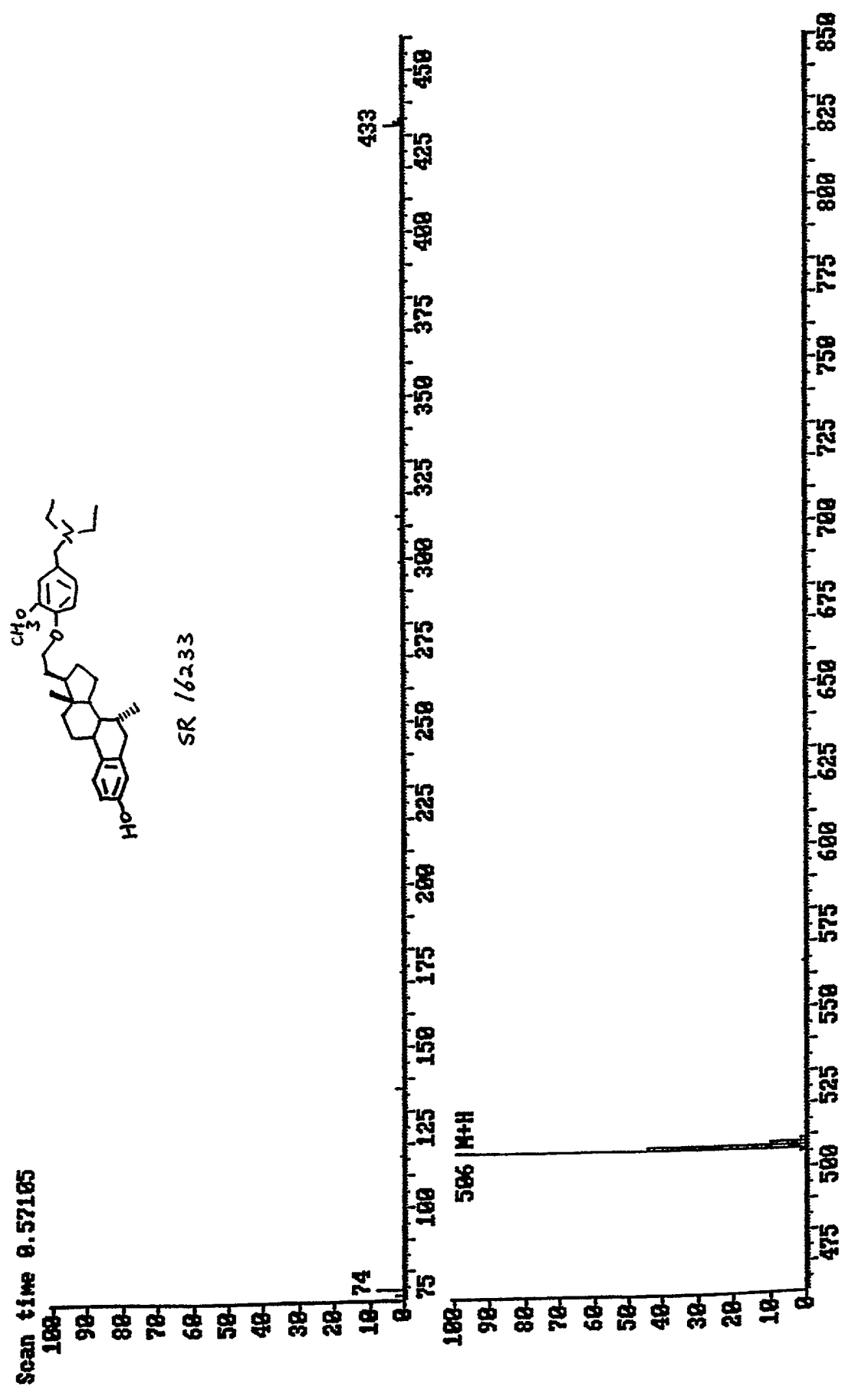


FIG. 15

FIG. 16



**FIG. 17**

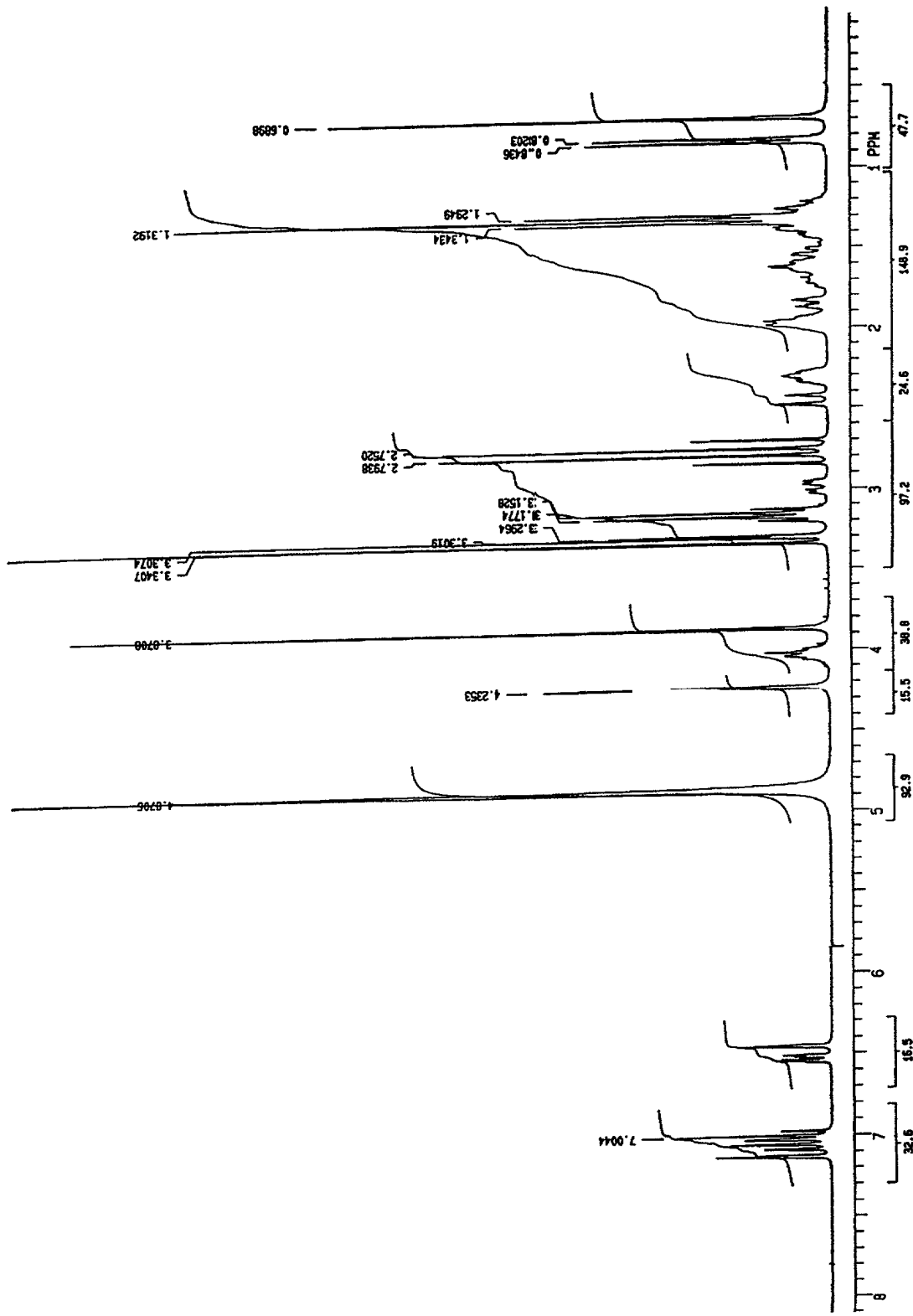
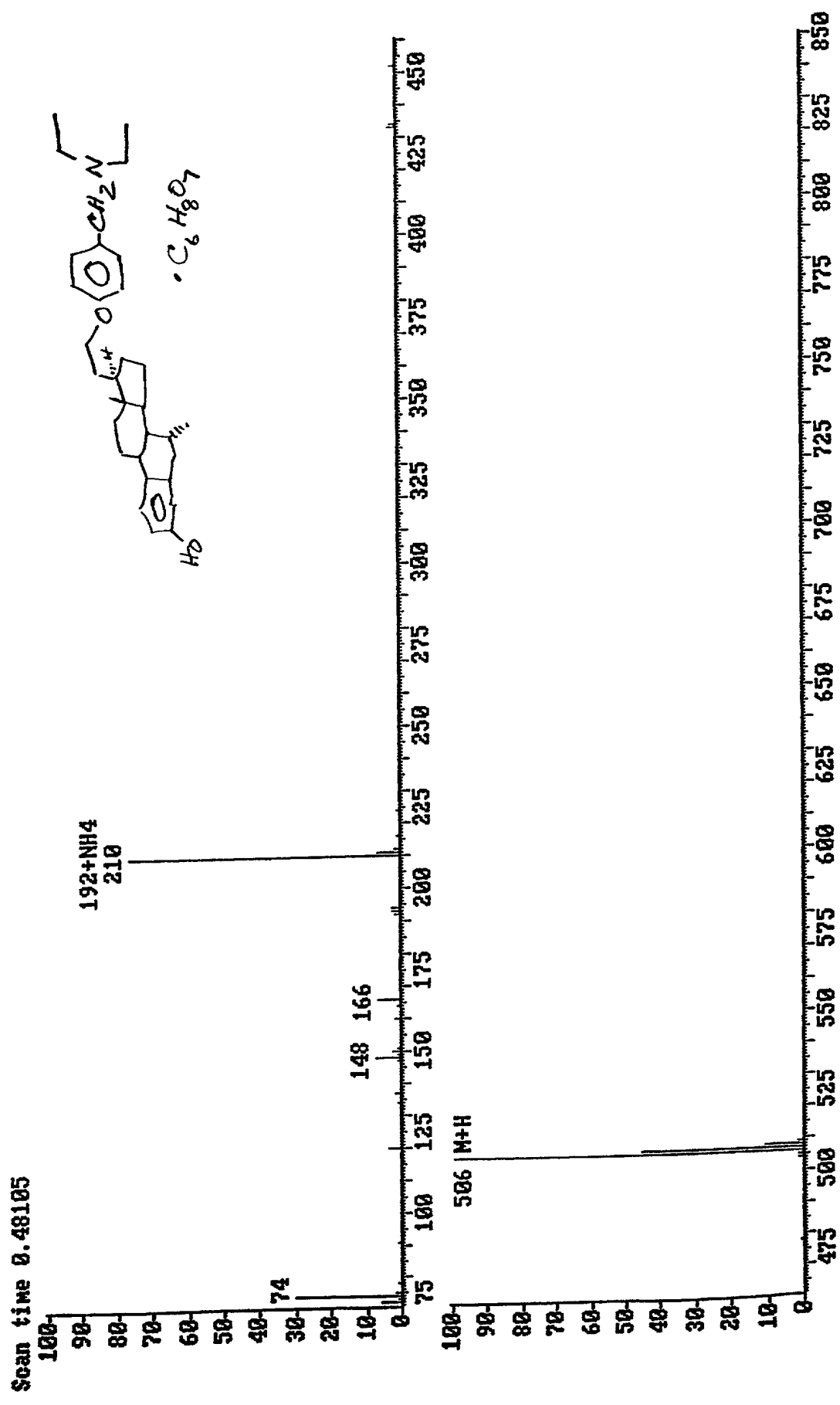


FIG. 18



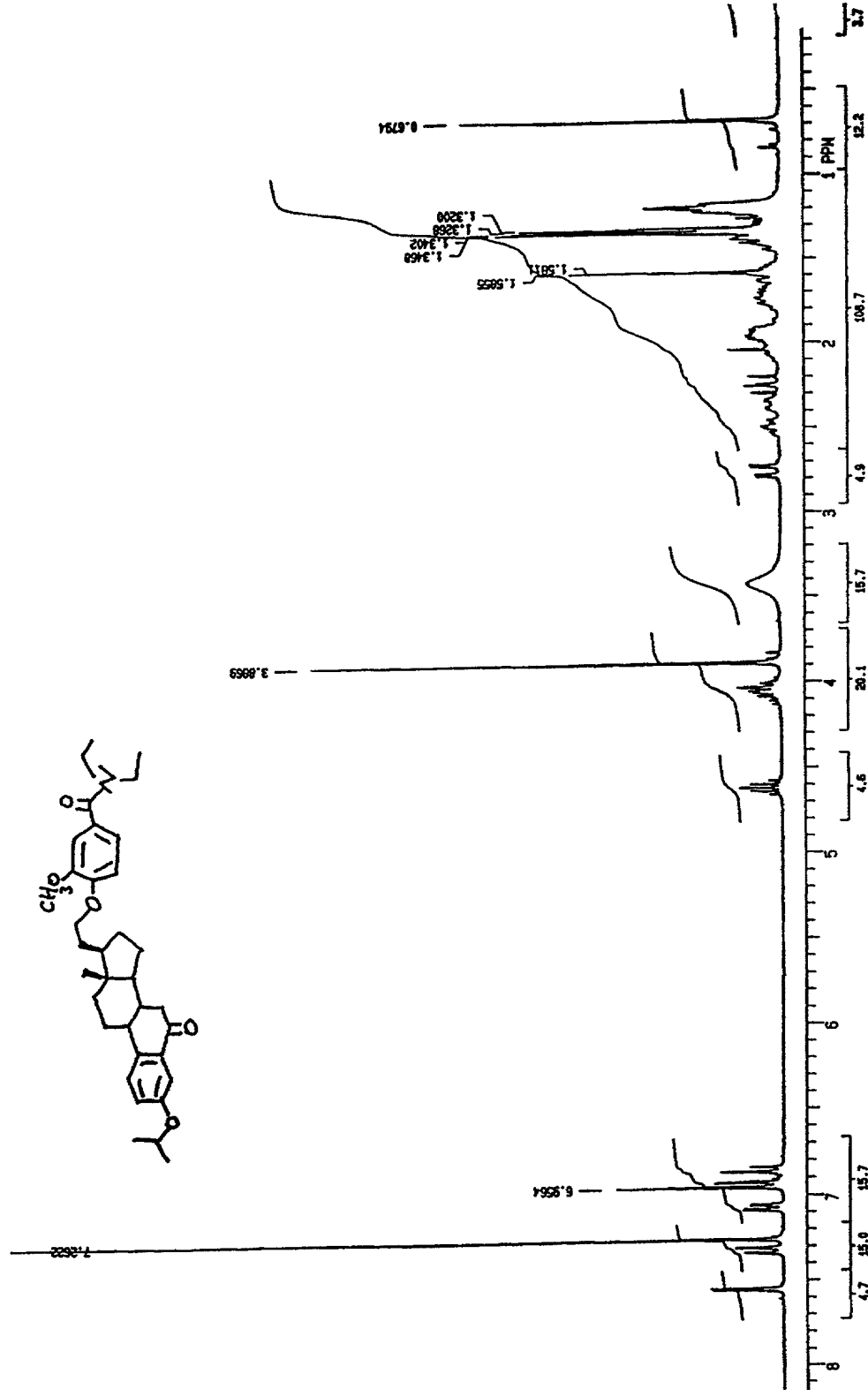
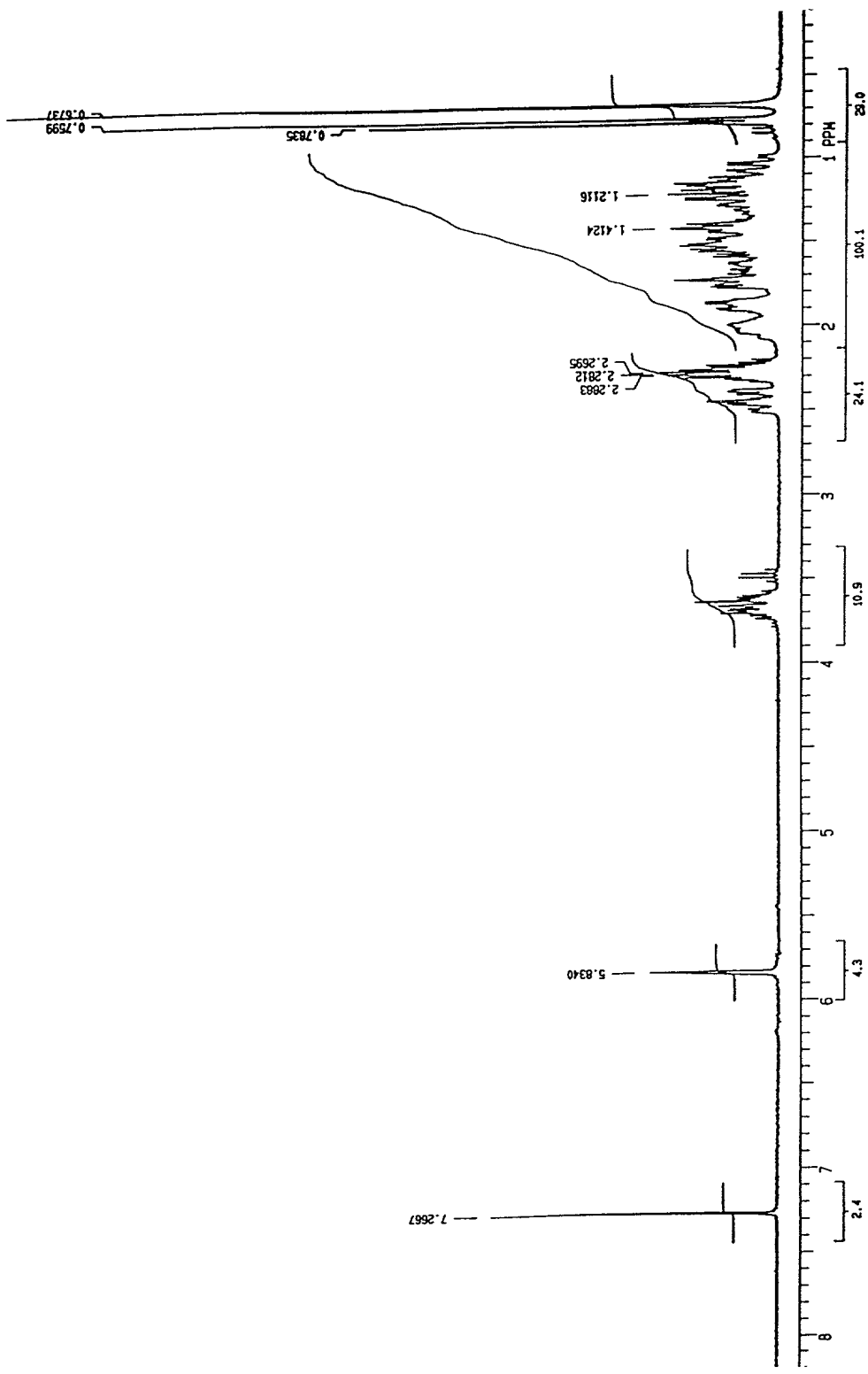
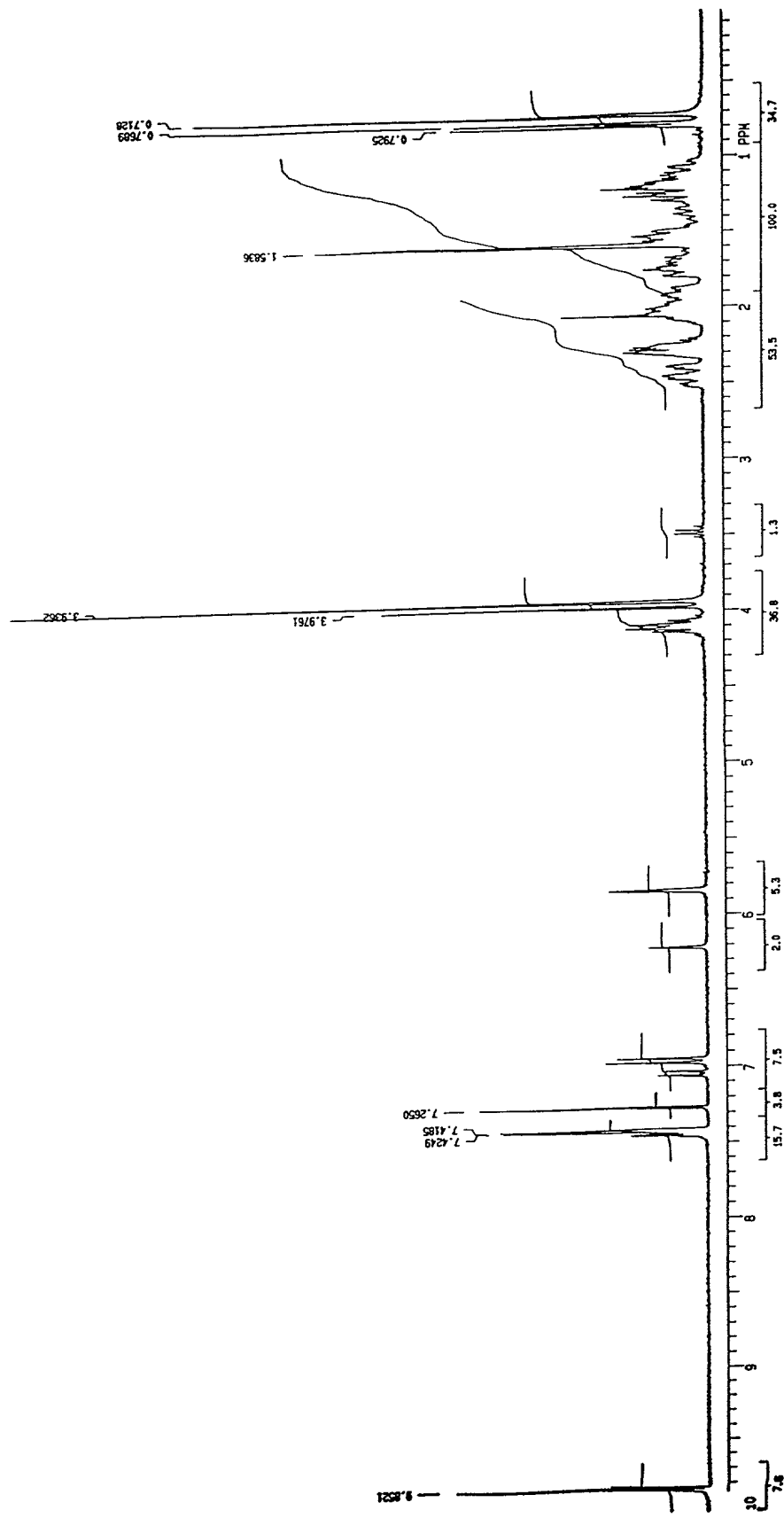


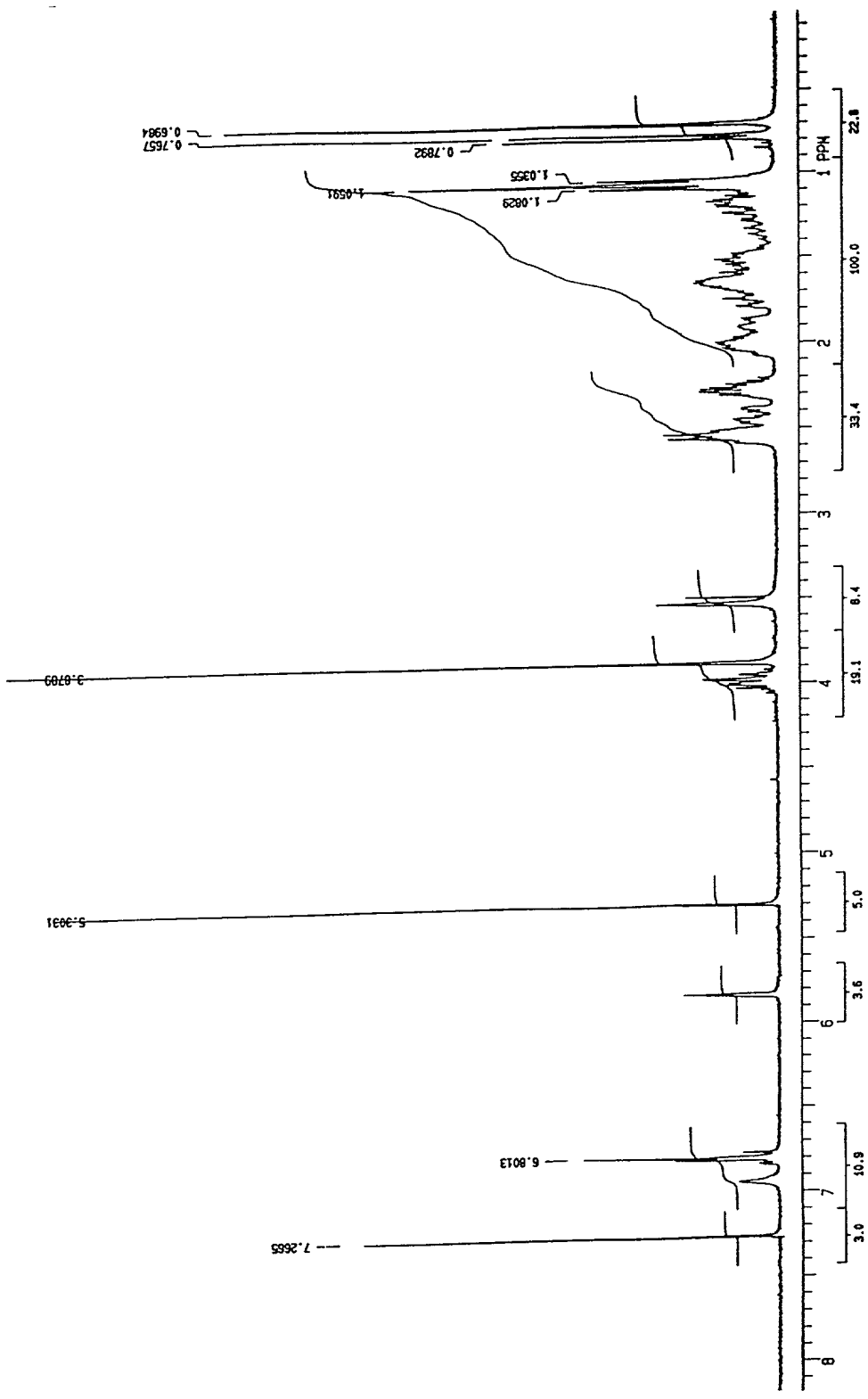
FIG. 19



**FIG. 20**

**FIG. 21**





**FIG. 22**

Inhibitory Effect of SR 16312 on Androgen-independent Human  
Prostate Cancer Cells

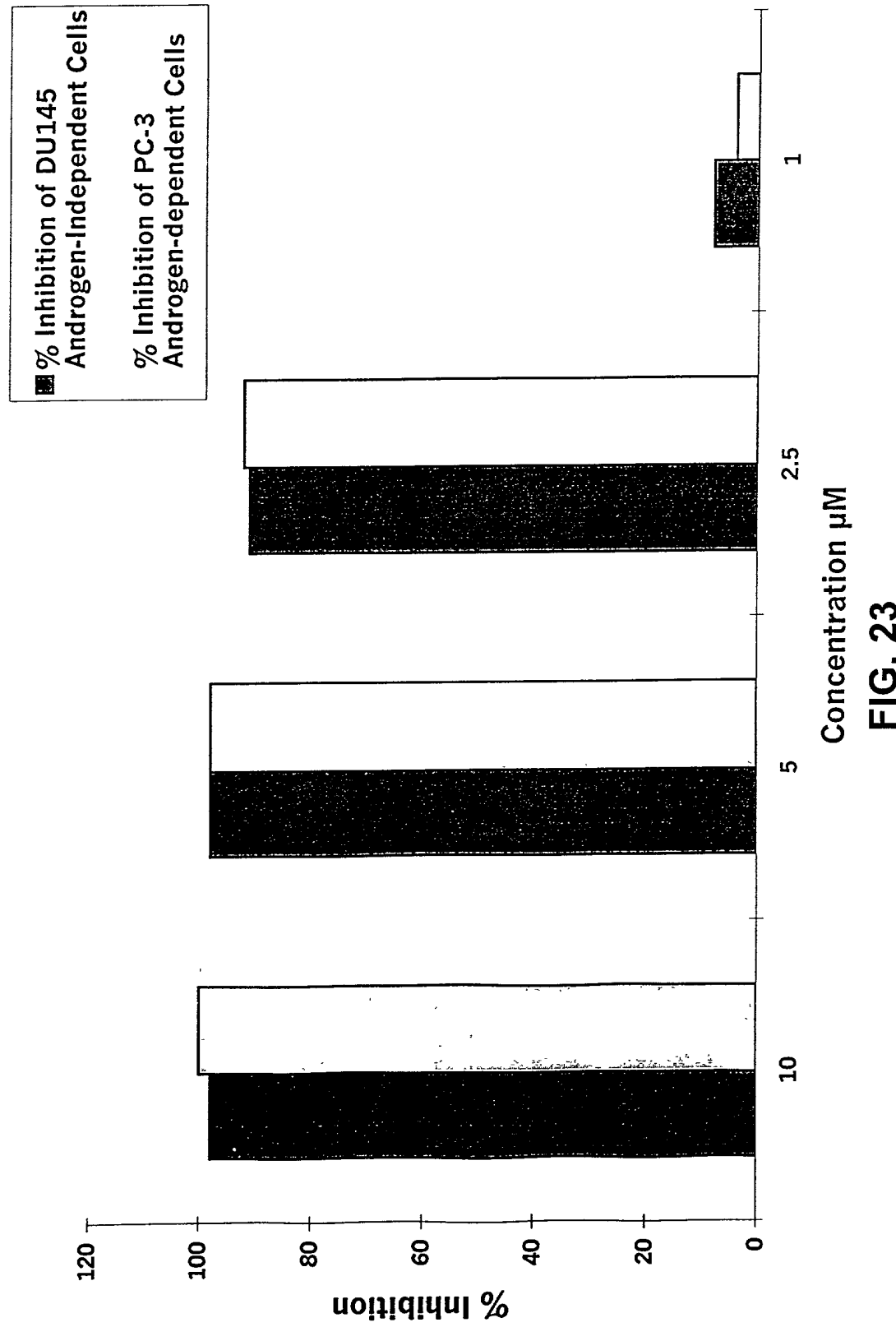


FIG. 23